

Estación 1013. Hoja 04-12 (TUY)

Nivel de cuarcitas blancas laminadas.



1013
Estación [redacted]. Hoja 04-12 (TUY)
Cuarcitas blancas laminadas.



1014
Estación 198. Hoja 04-12 (TUY)
Aspecto de las bandas de granodiorita precoz.



1015
Estación [redacted]. Hoja 04-12 (TUY)
Granodiorita precoz con enclaves de paraneises del Complejo Monteferro—El Rosal.



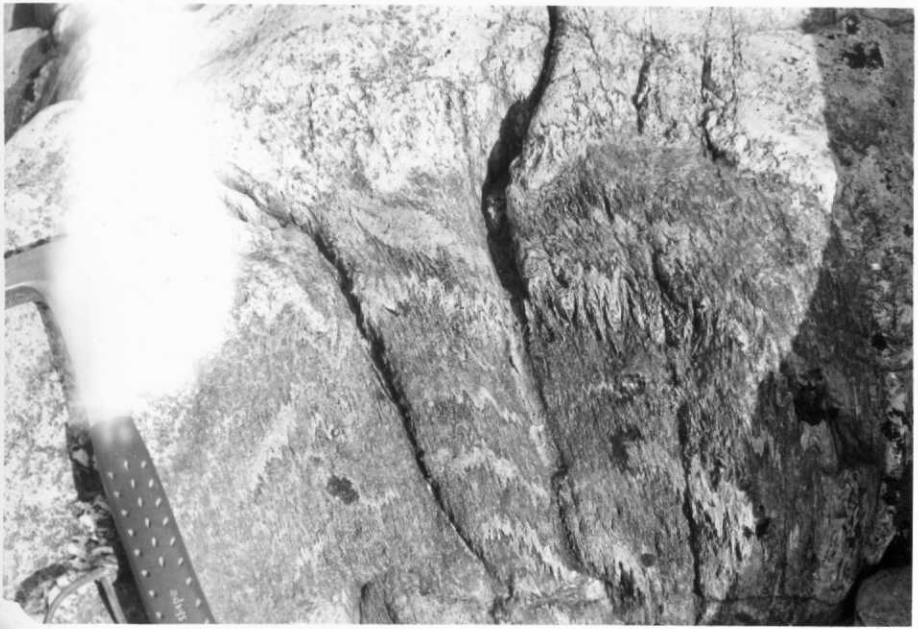
1016
Estación [redacted]. Hoja 04-12 (TUY)
Disyunción de los neises de riebeckita en Galiñeiro



1017

Estación 894. Hoja 04-12 (TUY)

Niveles calcosilicatados del Complejo Monteferro-El Rosal.



Estación 1017
Micropliegues de F2 en una vena de cuarzo segregado en niveles pizarrosos del Complejo Monteferro–El Rosal.



1018
Estación [redacted]. Hoja 04-12 (TUY)
Formación de neises de riebeckita, junto a la hermita de la Virgen de las Nieves.



1020

Estación 1[redacted]0. Hoja 04-12 (TUY)

Panorámica del macizo de Galiñeiro desde el Colegio Universitario de Vigo.



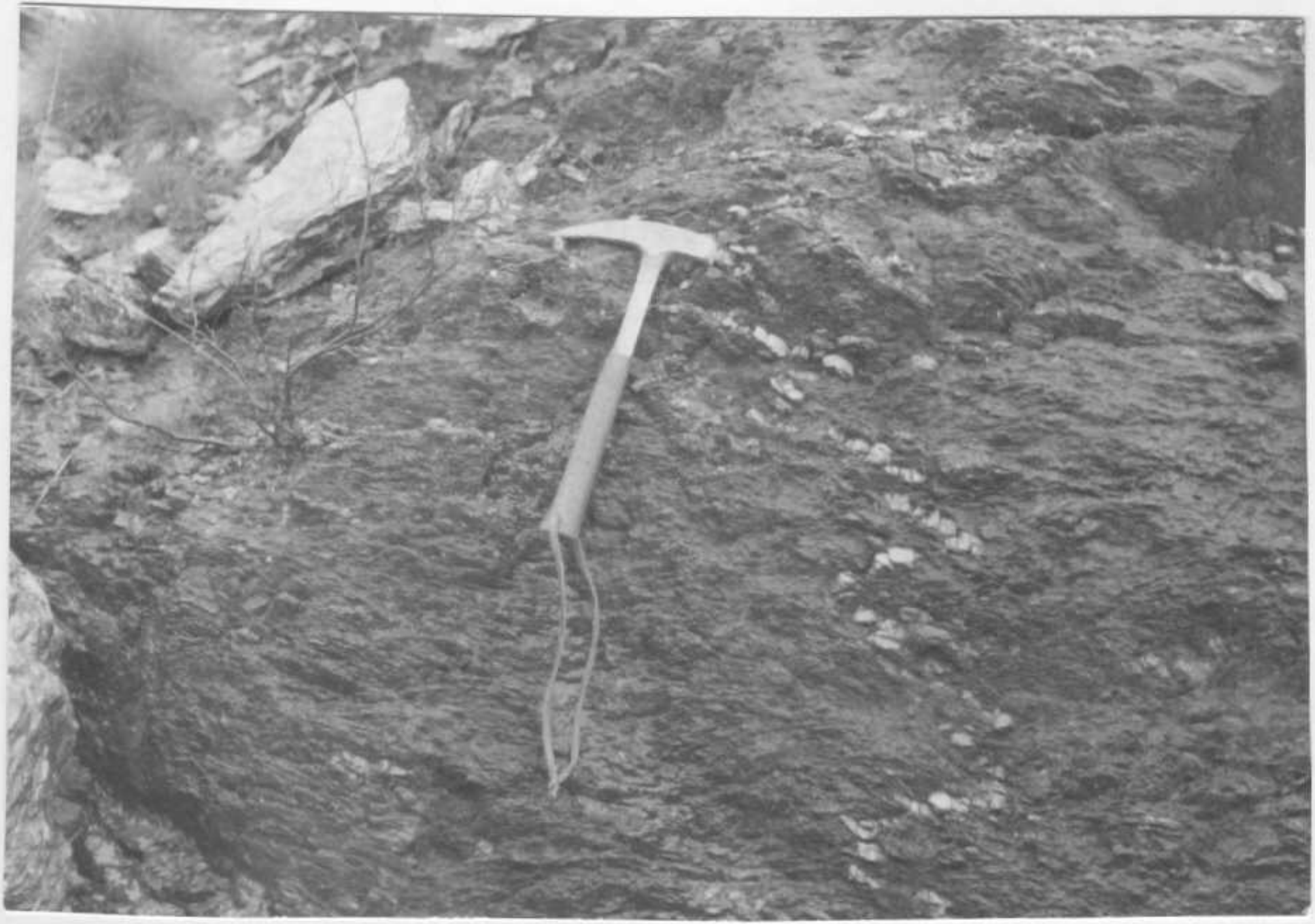
Estación 172. Hoja 04-12 (TUY)
Aspecto de las venas pegmatiticas.



Estación 172. Hoja 04-12 (TUY)
Fracturación perpendicular a la salvandas de vena pegmatitica que presenta biotilización.

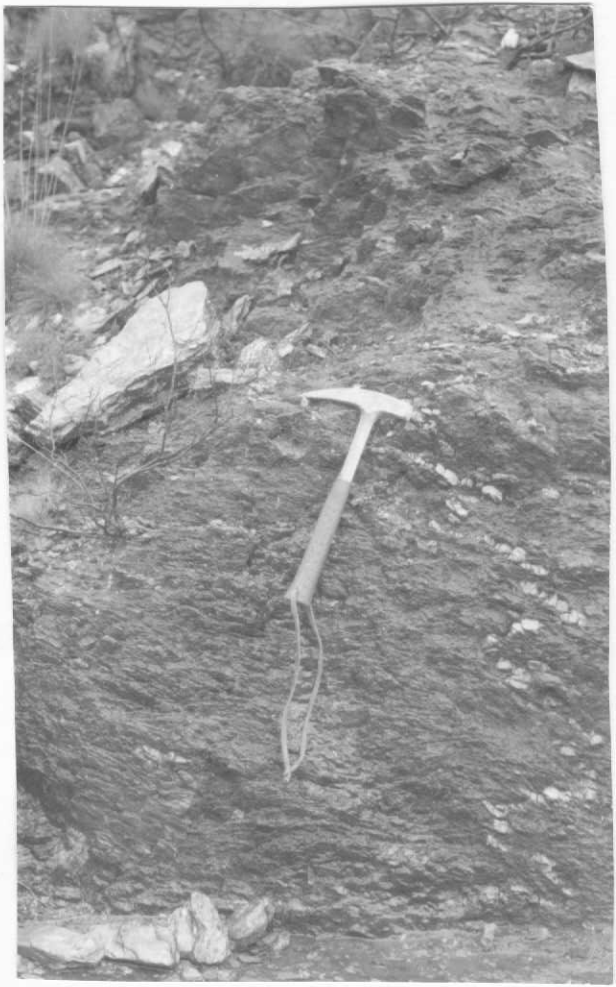


Estación 172. Hoja 04-12 (TUY)
Enclave mafico (posiblemente paraneises muy alterados) entre las venas pegmatiticas.



Estación 38. Hoja 04-12 (TUY)
Repliegue de F2 en dique de cuarzo en paraneises

Estación 38. Hoya 04-12 (TUY)
Repliegues de F2 en dique de cuarzo
en paraneises





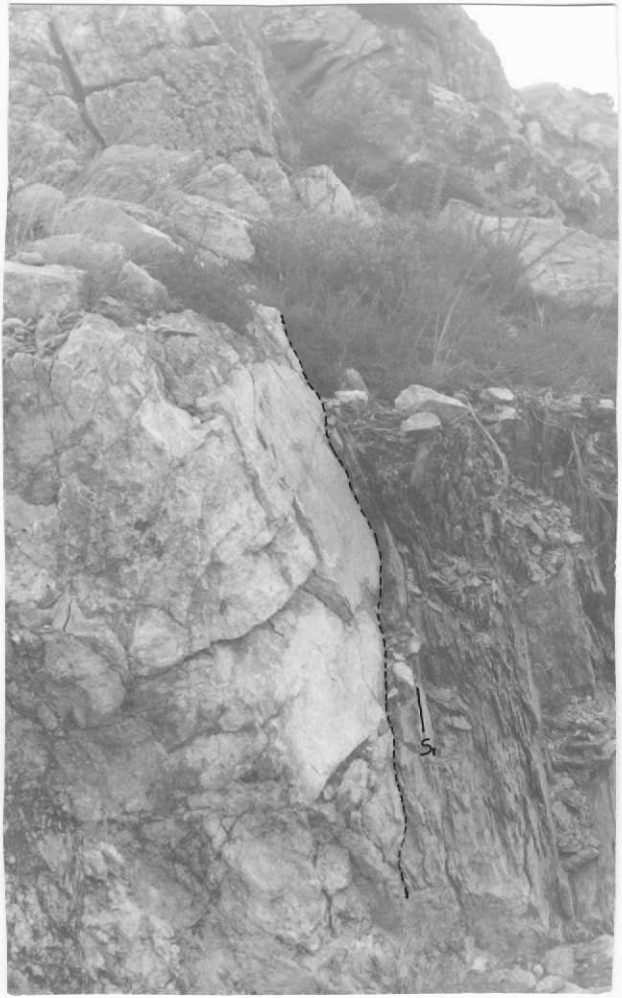
Estación. 465. Hoja 04-12 (TUY)
Repliegues de venas de cuarzo, en las cuarcitas del Complejo Monteferro-El Rosal.



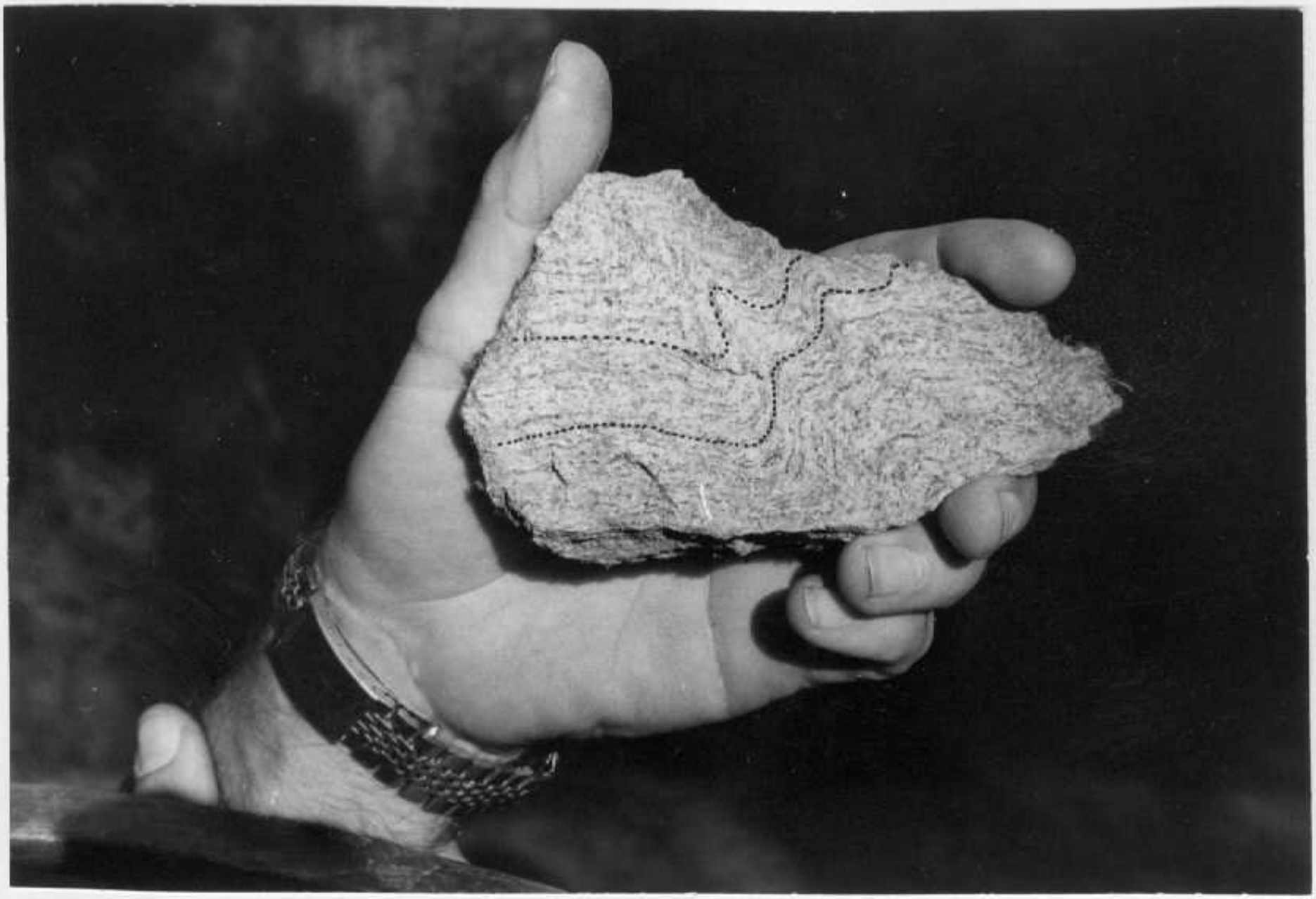
Estación 465. Hoja 04-12 (TUY)
Repliegues de venas de cuarzo, en las cuarcitas del Complejo Monteferro-El Rosal.



Estación 465. Hoja 04-12 (TUY)
Repliegues de venas de cuarzo en las cuarcitas del Complejo Monteferro-El Rosal.



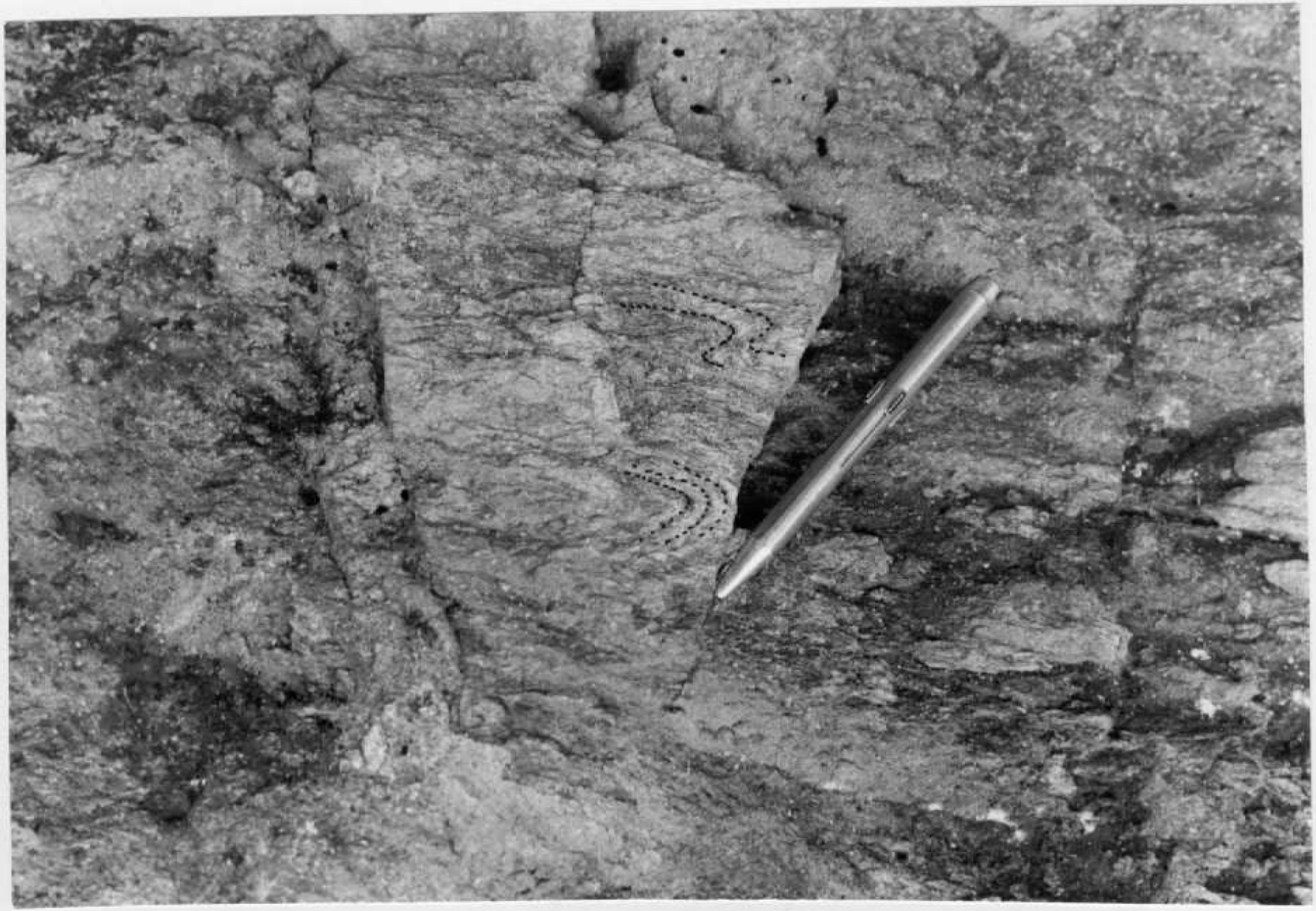
Estación 77. Hoja 04–12 (TUY)
Aparente concordancia entre foliación de paraneises y contactos de un dique de pegmaplita.



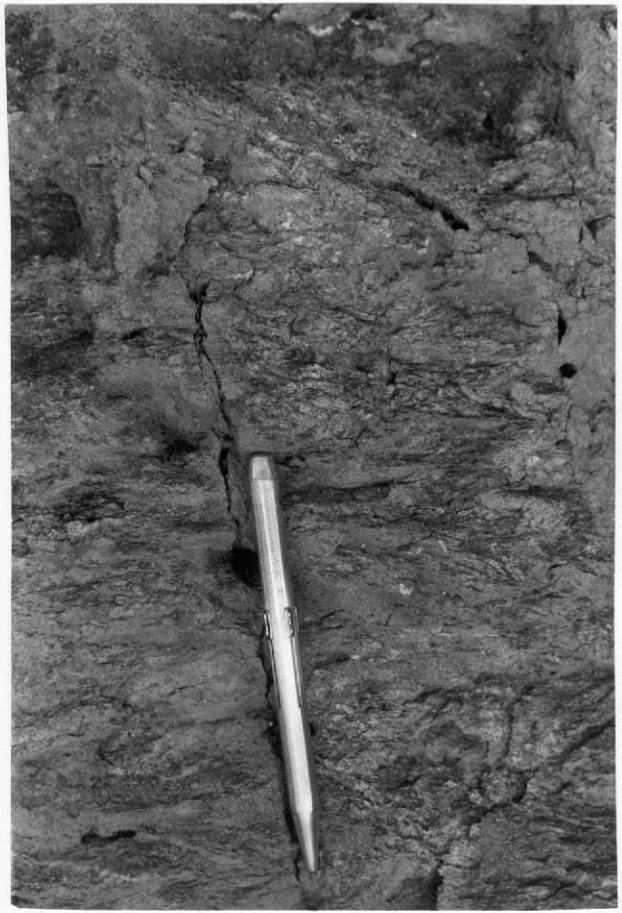
Estación 893. Hoja 04-12 (TUY)
Pliegues retrovergentes (F_3?) en neises tipo Galiñeiro. Plano axial: N-90-E, 60N.



Estación 904. Hoja 04-12 (TUY)
Pequeña vena intrusiva de granitos de dos micas
(γ^2) en los metasedimentos del Complejo Vigo-Tuy.



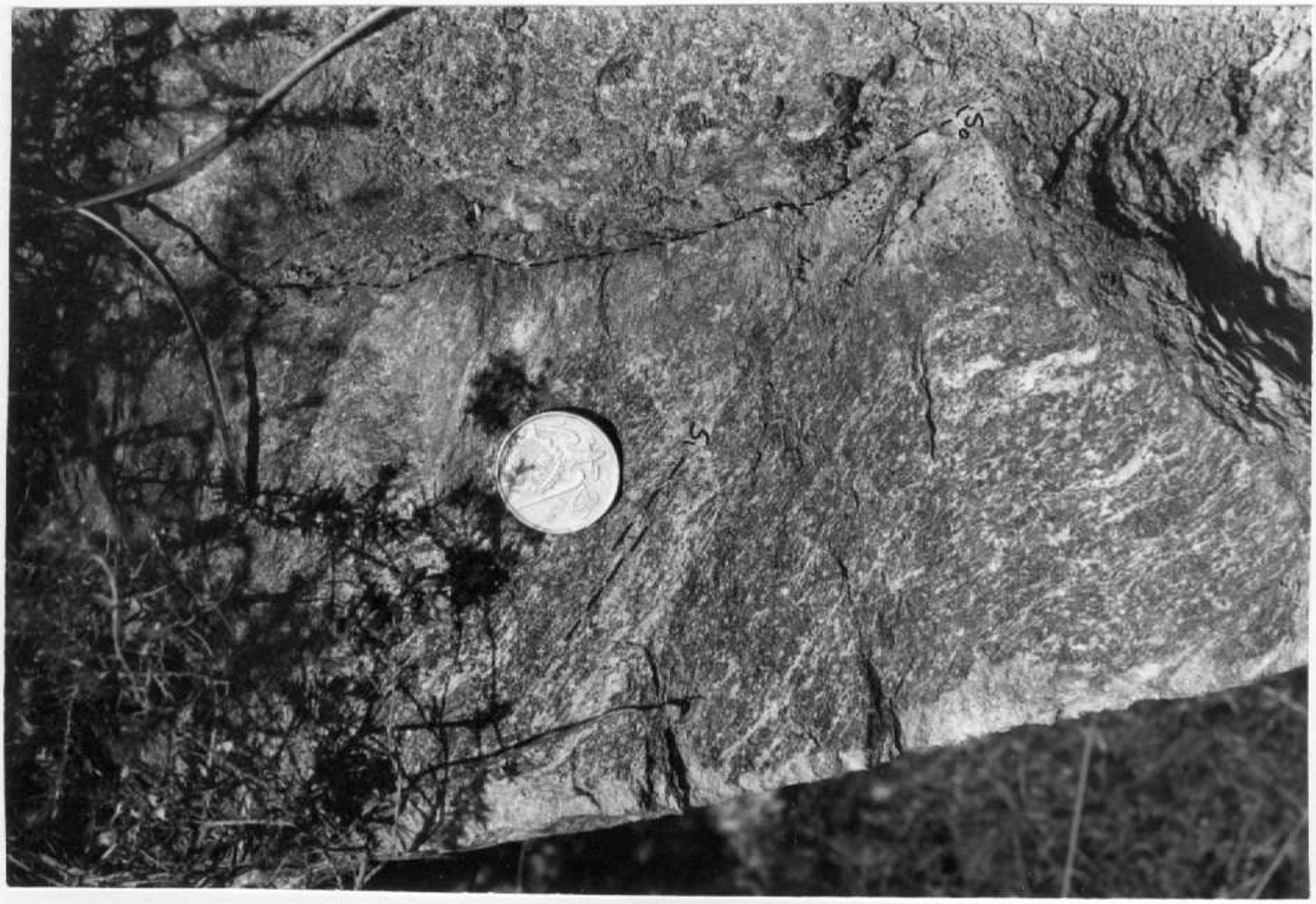
Estación 912. Hoja 04-12 (TUY)
Micropliegues de plano axial subhorizontal (F)
Eje N-140-E.



Estación 912. Hoja 04–12 (TUY)
Micropliegues de plano axial subhorizontal (F). Eje N–140–E.



Estación 952. Hoja 04-12 (TUY)
Nivel de cuarcita negra asociada a vena pegmatitica



Estación 952. Hoja 04-12 (TUY)
Detalle de la foto anterior



Estación 974. Hoja 04-12 (TUY)
Panorámica de la ría de Bayona, en primer término granitos de dos micas (γ^2)



Estación 979. Hoja 04-12 (TUY)
Dique de pegmatitas intrusivas en los metasedimentos del Complejo Vigo-Tuy.



Estación 985. Hoja 04-12 (TUY)
Metaconglomerados del Complejo Monteferro-El Rosal.



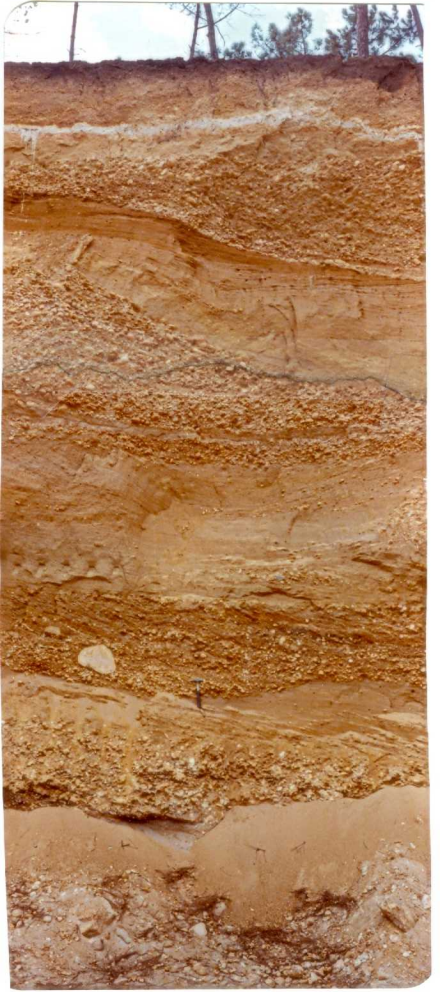
Estación 985
Micropliegues de F2, en un enclave pizarroso, del Complejo Monteferro–El Rosal, dentro de los granitos cataclásticos de dos micas.



Estación AH. 1211
Panorámica del frente de explotación existente junto a la Cra. Porriño–Tuy (AH. 211) en las terrazas del río Louro

Estación AH. 1211
Panorámica del amplio frente de explotación existente junto a la Cra. Porriño-Tuy en la estación AH. 211, en las terrazas del río Louro





Estación AH.I212
Terraza QT_2

Estación AH.1212
Corte de la terraza QT_2

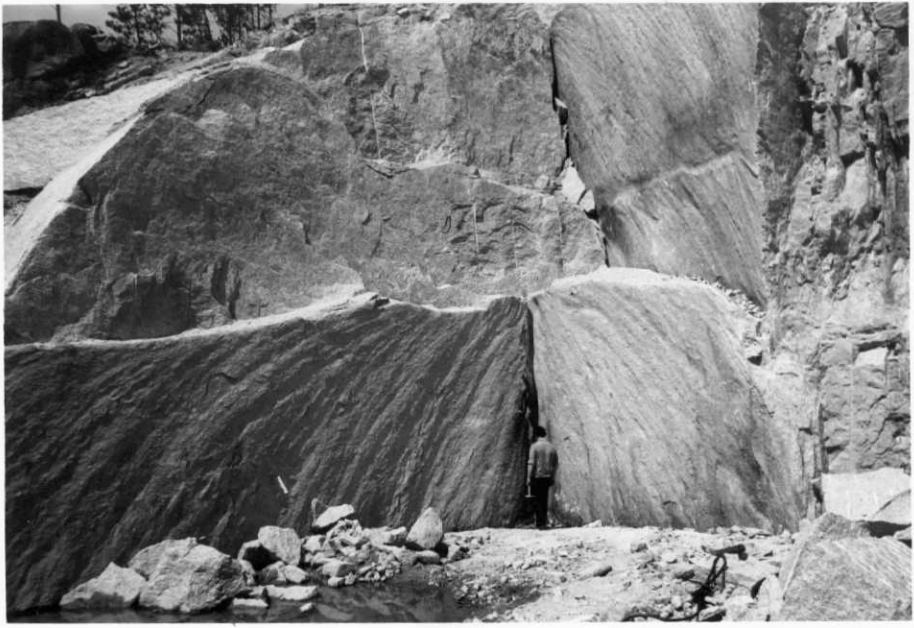




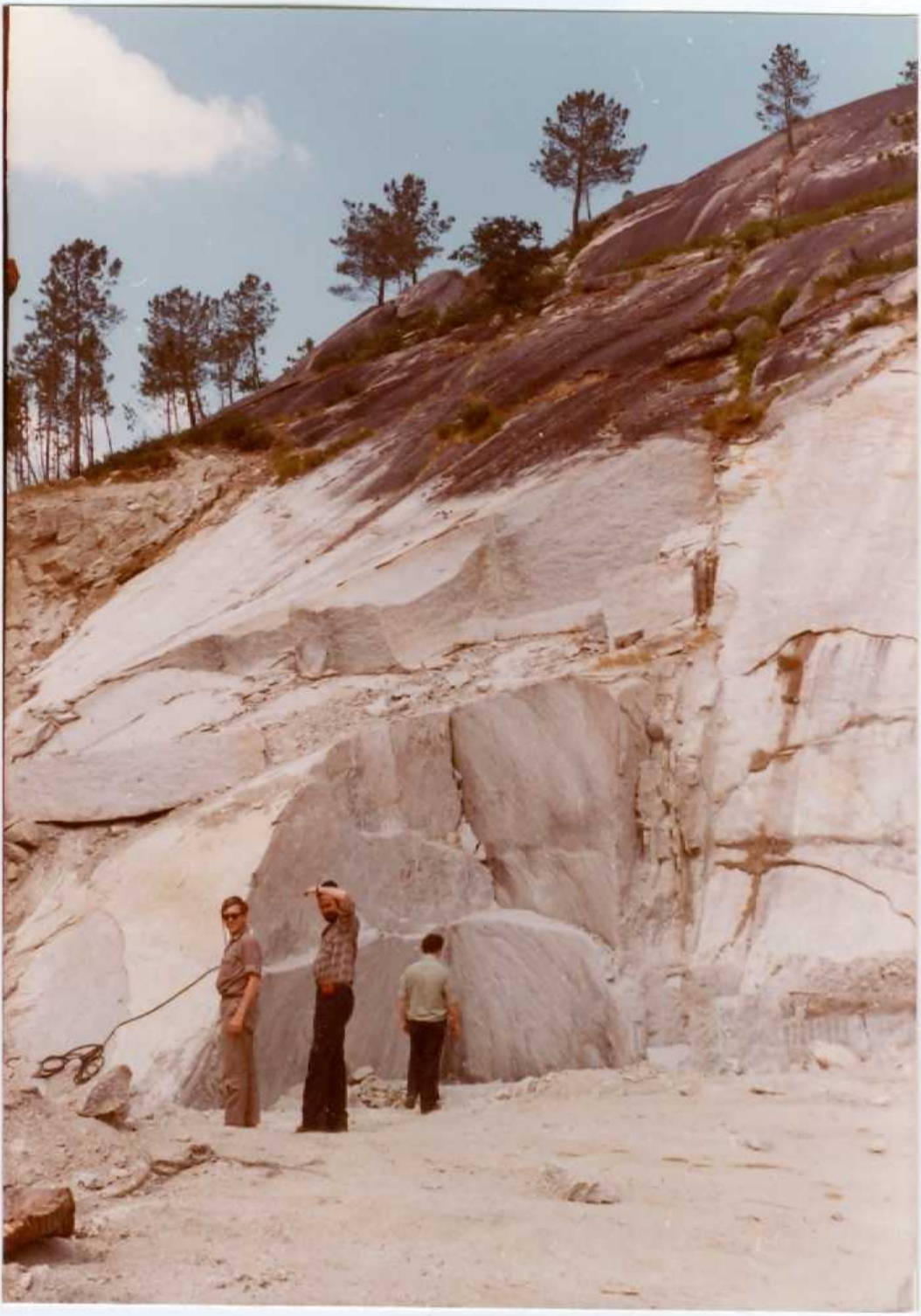
Estación AH.1212
Corte de la terraza QT_2



Estación AH. 1217
Explotación de niveles de arenas y gravas en QT_1



Dos aspectos del frente de explotación de una cantera situada en Portela de Souto (x: 195.000, y: 850.000) en la zona de Atios, uno de los principales focos de extracción de rocas de sillería con destino al sector de construcción. El material beneficiado es granito inequigranular y granodiorita porfídica anfibólica-biotítica ("Granitos de Porriño"). RN 1550 - 1551 .



Dos aspectos del frente de explotación de una cantera situada en Portela de Souto (x: 195.000, y: 850.000) en la zona de Atios, uno de los principales focos de extracción de rocas de sillería con destino al sector de construcción. El material beneficiado es granito inequigranular y granodiorita porfídica anfibólica-biotítica ("Granitos de Porriño"). RN 1550 - 1551 .



Panorámica desde las proximidades de Atios, de las crestas de granodiorita porfídica del Penedo Corucho. Los valles aplanados participan de la morfología que caracteriza la depresión finiterciaria de Porriño-Tuy (RN 1552).



Enclaves microgranudo de contactos netas, dentro de granodiorita porfídica biotítico--anfibólica. Se aprecia una geometría de deformación plástica dentro de la mecánica de la intrusión del plutón. Carretera de Porriño a Couso (RN 1553) (Dimensión del martillo 25 cm).